

Fig 42

FIGURA 42

Diferenciación hormonal en Aves. Diferenciación de las células corticotropas.

a.- Sección sagital de la hipófisis en el estadio E.7 que muestra la presencia de las primeras células ACTH-ir (*) en la zona dorsal de la región rostral (Rr) del lóbulo anterior (LA) (HRP/CI-Naftol 140x).

b.- Sección sagital de la hipófisis en el estadio E.7 que muestra la presencia de las primeras células β End-ir (*) en la zona dorsal de la región rostral (Rr) del lóbulo anterior (LA) (HRP/CI-Naftol 140x).

c.- Sección sagital de la hipófisis en el estadio E.9. que muestra la presencia de primeras células α MSH-ir en la región rostral (Rr) del lóbulo anterior (LA) (HRP/CI-Naftol 140x).

d.- Detalle en sección sagital que muestra la morfología de las células corticotropas al comienzo de su diferenciación (HRP/CI-Naftol 340x).

e₁,e₂.- Sección sagital de la hipófisis en el estadio E.7 tratada consecutivamente con antisuero anti-ACTH y anti- β End respectivamente que muestra la presencia de ambas hormonas en las mismas células (➤) (HRP-CI-Naftol 460x).

g,h.- Representación esquemática en sección sagital que muestra las primeras etapas de la diferenciación de las células corticotropas.

EM: Eminencia media.

LA: Lóbulo anterior.

LP: Lóbulo posterior.

Rc: Región caudal.

Rr: Región rostral.

3V: Tercer ventrículo.

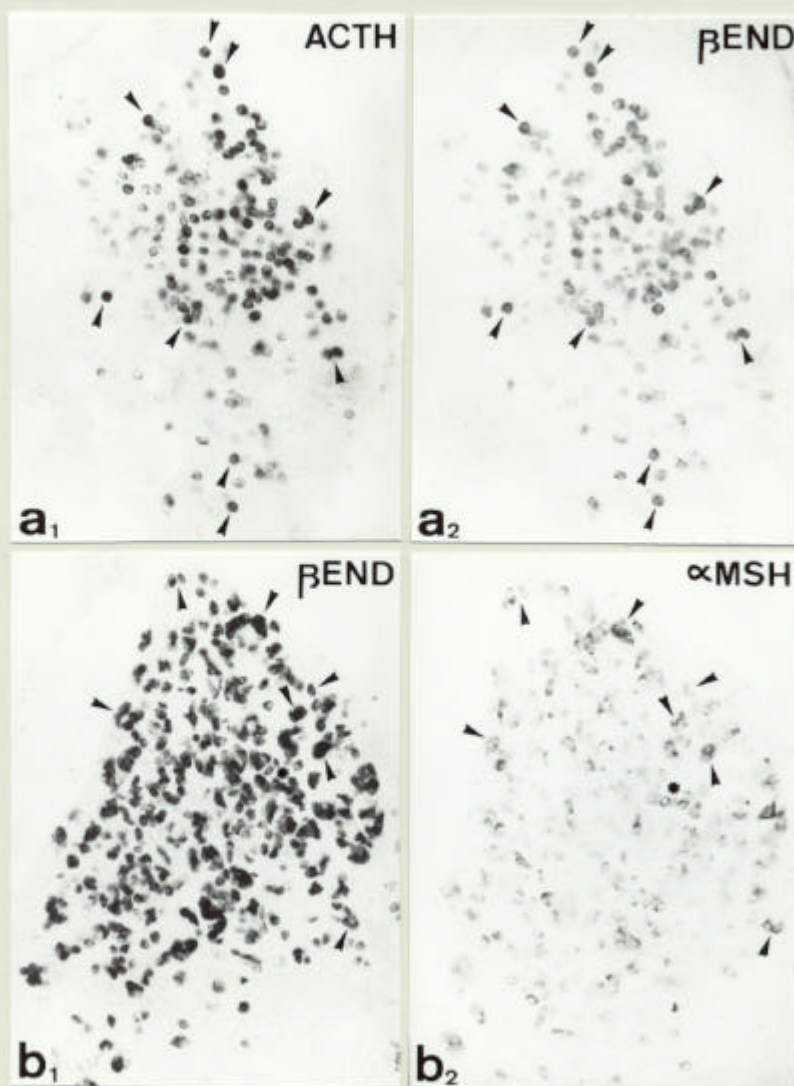


Fig 43

FIGURA 43

Diferenciación hormonal en Aves. Coexistencia de péptidos derivados de la POMC.

a₁,a₂.- Sección sagital de la hipófisis en el estadio E.8 tratada consecutivamente con antisuero anti-ACTH y anti- β End respectivamente. Obsérvese la presencia de ambos péptidos en las mismas células del lóbulo anterior (➤) (HRP/Cl-Naftol 340x).

b₁,b₂.- Sección sagital de la hipófisis en el estadio E.12 tratada consecutivamente con antisuero anti- β End y anti- α MSH respectivamente. Obsérvese la presencia de ambos péptidos en las mismas células del lóbulo anterior (➤) (HRP/Cl-Naftol 340x).

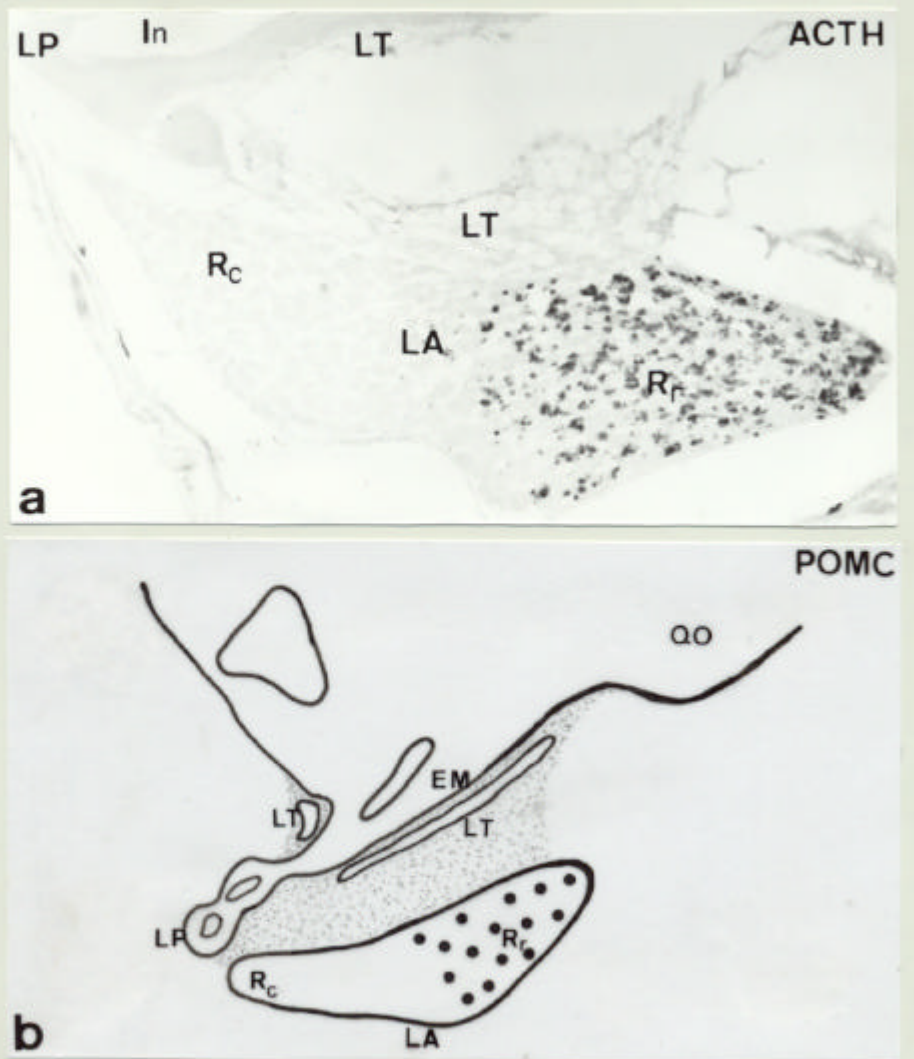


Fig 44

FIGURA 44

Diferenciación hormonal en Aves. Diferenciación de las células corticotropas.

a.- Sección sagital de la hipófisis al final del desarrollo embrionario que muestra la distribución definitiva de las células corticotropas en la región rostral (Rr) del lóbulo anterior (LA) (HRP/CI-Naftol 160x).

b.- Representación esquemática en sección sagital que muestra la distribución definitiva de las células corticotropas.

In: Infundíbulo.

LA: Lóbulo anterior.

LT: Lóbulo tuberal.

LP: Lóbulo posterior.

QO: Quiasma óptico.

Rc: Región caudal.

Rr: Región rostral.

3V: Tercer ventrículo.

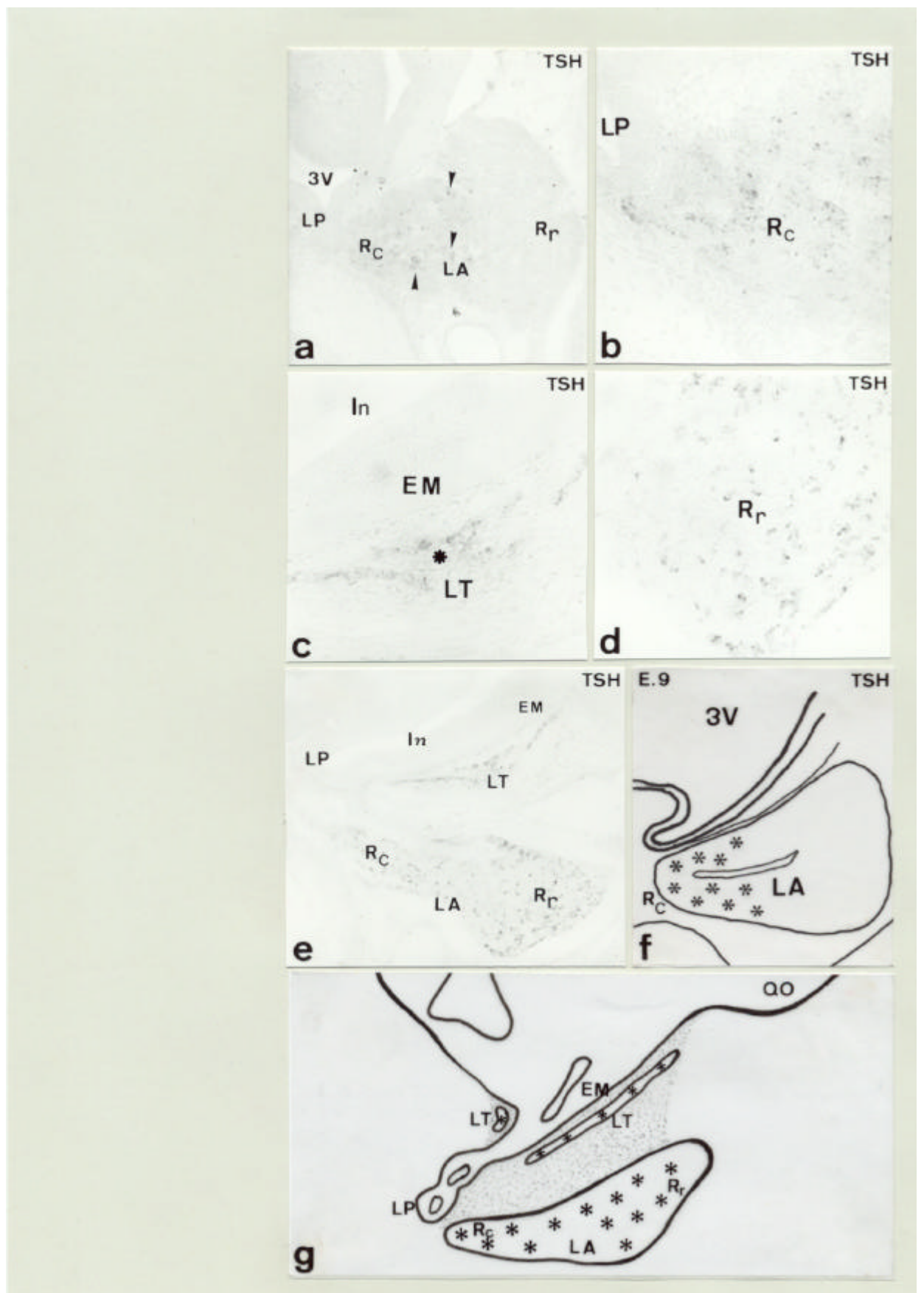


Fig 45

FIGURA 45

Diferenciación hormonal en Aves. Diferenciación de las células tireotropas.

a.- Sección sagital de la hipófisis en el estadio E.9 que muestra la presencia de las primeras células β TSH-ir (\blacktriangleright) en la región caudal (Rc) del lóbulo anterior (LA) (HRP/CI-Naftol 140x).

b.- Detalle de la imagen anterior que muestra la morfología de las primeras células tireotropas en la región caudal (Rc) del lóbulo anterior (HRP/CI-Naftol 340x).

c.- Detalle en sección sagital del lóbulo tuberal de la hipófisis en el estadio E.12 que muestra las primeras células β TSH-ir (\blackstar) en esta región de la hipófisis (HRP/CI-Naftol 340x).

d.- Detalle en sección sagital de la región rostral (Rr) del lóbulo anterior en el estadio E.15 que muestra la presencia de células β TSH-ir en esta región (HRP/CI-Naftol 340x).

e.- Sección sagital de la hipófisis al final del desarrollo embrionario que muestra la distribución definitiva de las células tireotropas en los lóbulos anterior (LA) y tuberal (LT) (HRP/CI-Naftol 140x).

f,g.- Representación esquemática en sección sagital que muestra la diferenciación de las células tireotropas durante el desarrollo de la hipófisis.

EM: Eminencia media.

In: Infundíbulo.

LA: Lóbulo anterior.

LT: Lóbulo tuberal.

LP: Lóbulo posterior.

OO: Quiasma óptico.

Rc: Región caudal.

Rr: Región rostral.

3V: Tercer ventrículo.

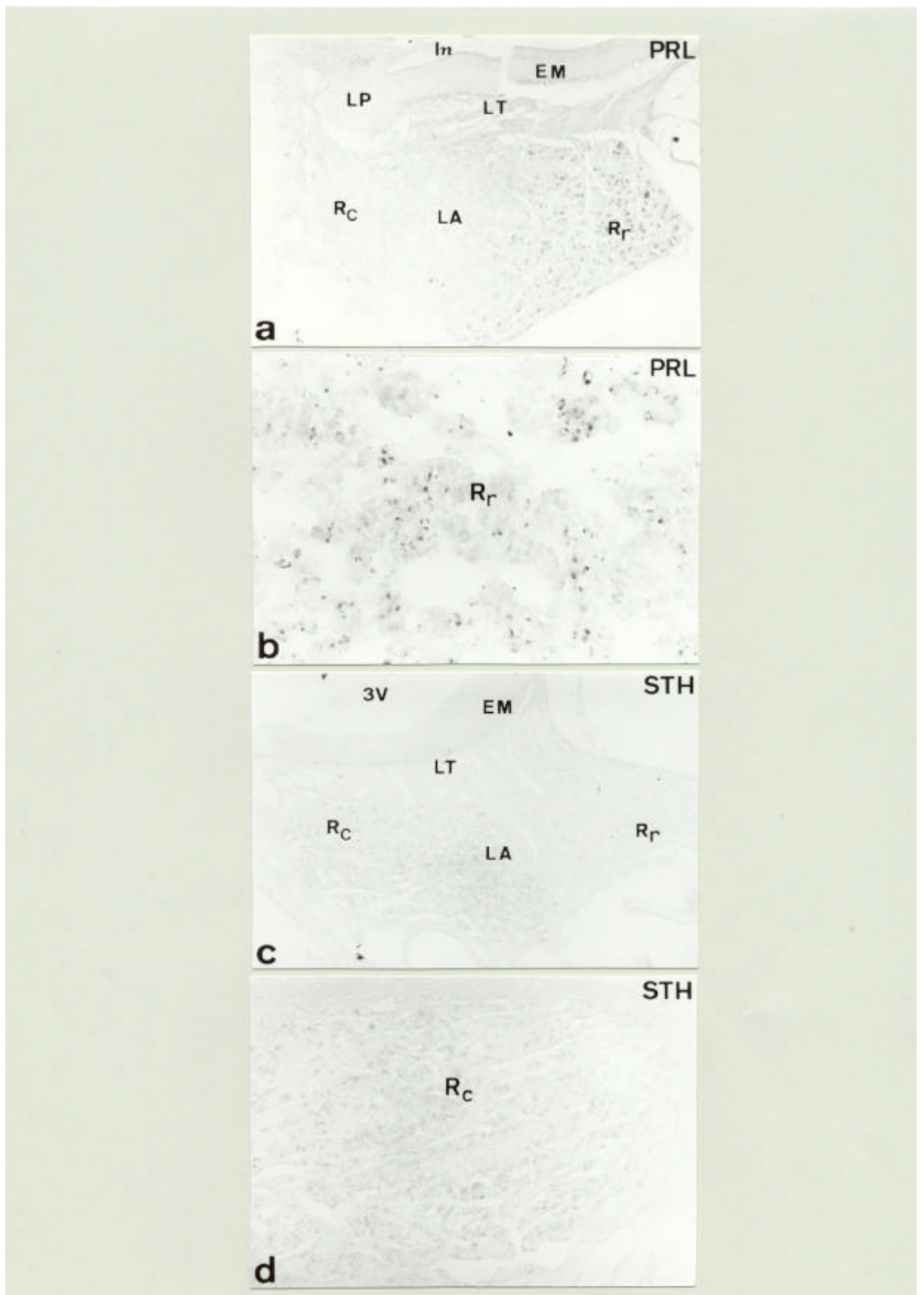


Fig 46

FIGURA 46

Diferenciación hormonal en Aves. Diferenciación de las células lactotropas y somatotropas.

a.- Sección sagital de la hipófisis al final del desarrollo embrionario que muestra las primeras células PRL-ir en la región rostral (Rr) del lóbulo anterior (LA) (HRP/CI-Naftol 140x).

b.- Detalle en sección sagital de la región rostral (Rr) del lóbulo anterior donde se muestra la morfología de las células lactotropas (HRP/CI-Naftol 340x).

c.- Sección sagital de la hipófisis de un posnatal en el estadio P.1 que muestra las primeras células STH-ir en la región caudal (Rc) del lóbulo anterior (LA) (HRP/CI-Naftol 140x).

d.- Detalle en sección sagital de la región caudal (Rc) del lóbulo anterior donde se muestra la morfología de las células somatotropas (HRP/CI-Naftol 340x).

EM: Eminencia media.

In: Infundíbulo.

LA: Lóbulo anterior.

LT: Lóbulo tuberal.

LP: Lóbulo posterior.

Rc: Región caudal.

Rr: Región rostral.

3V: Tercer ventrículo.

RESULTADOS

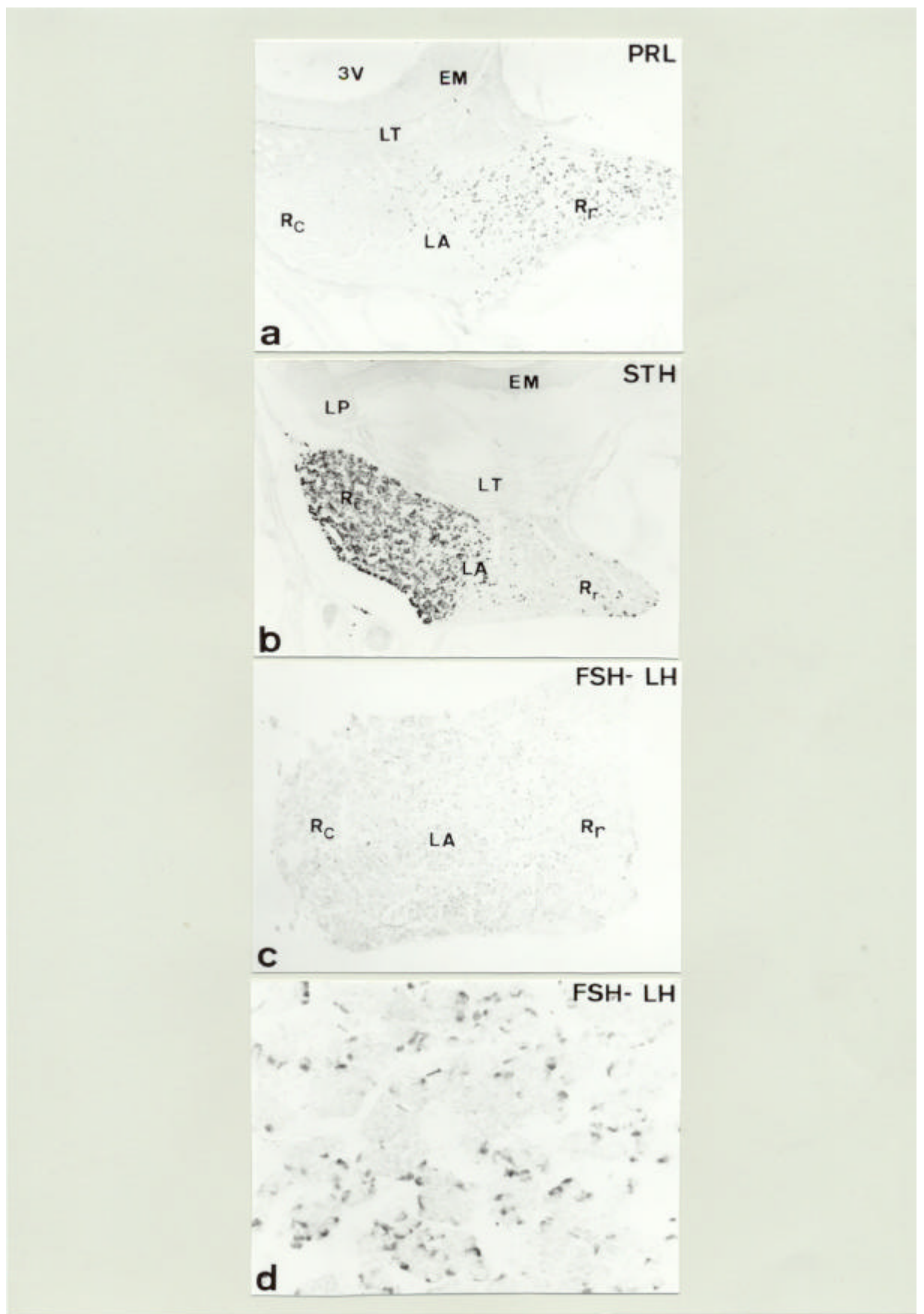


Fig 47

FIGURA 47

Diferenciación hormonal en Aves. Diferenciación de las células lactotropas, somatotropas y gonadotropas.

a.- Sección sagital de la hipófisis de un posnatal en el estadio P.7 que muestra la distribución definitiva de las células lactotropas en la región rostral (Rr) del lóbulo anterior (LA)(HRP/CI-Naftol 140x).

b.- Sección sagital de la hipófisis de un posnatal en el estadio P.7 que muestra la distribución definitiva de las células somatotropas en la región caudal (Rc) del lóbulo anterior (LA) (HRP/CI-Naftol 140x).

c.- Sección horizontal de la hipófisis de un posnatal en el estadio P.14 que muestra las primeras células gonadotropas distribuidas por todo el lóbulo anterior (LA) (HRP-CI-Naftol 140x).

d.- Detalle en sección horizontal de la hipófisis de un posnatal en el estadio P.14 que muestra la morfología de las células gonadotropas (HRP-CI-Naftol 340x).

EM: Eminencia media.

LA: Lóbulo anterior.

LT: Lóbulo tuberal.

LP: Lóbulo posterior.

Rc: Región caudal.

Rr: Región rostral.

3V: Tercer ventrículo.

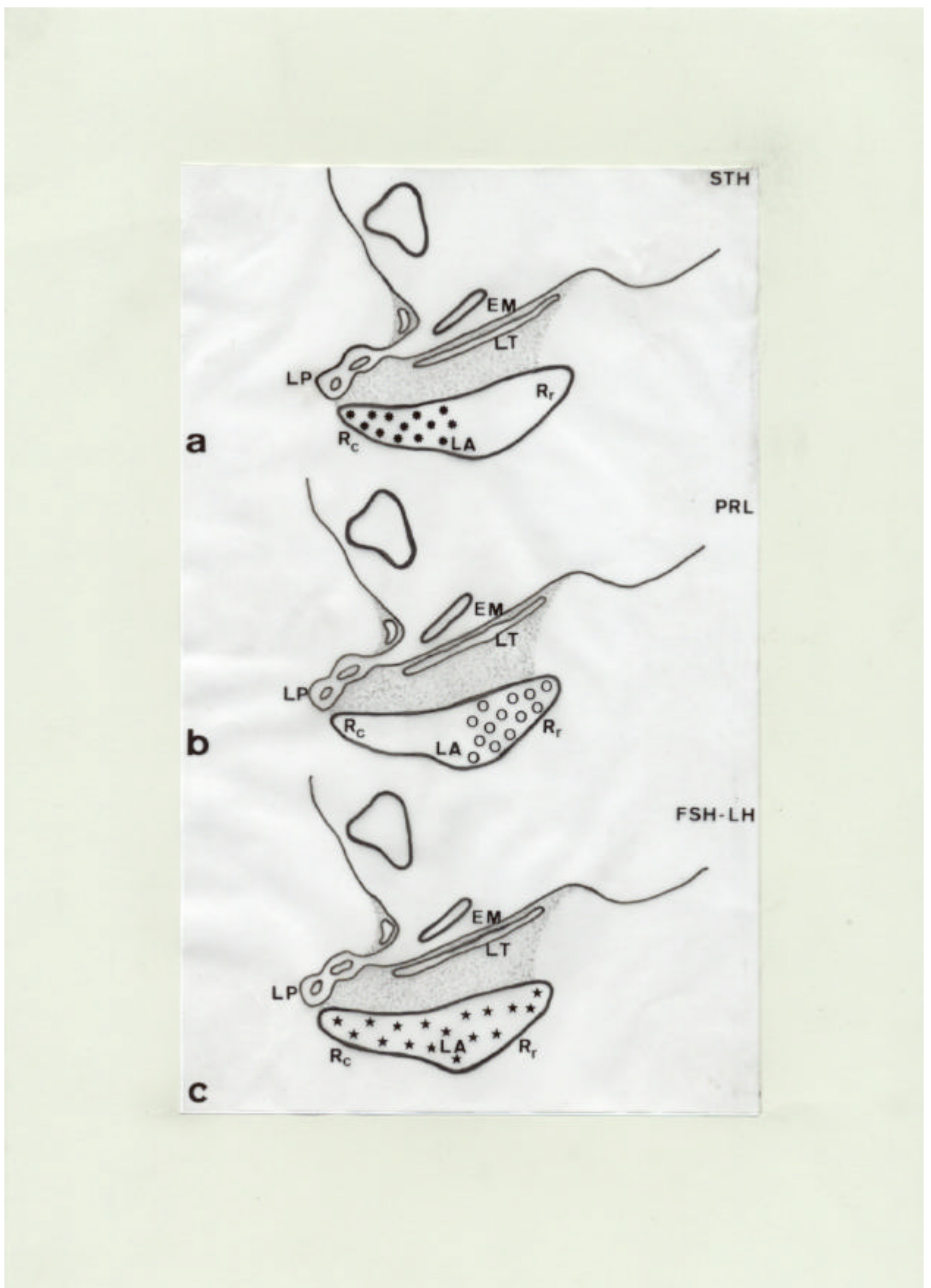


Fig 48

FIGURA 48

Diferenciación hormonal en Aves. Diferenciación de las células lactotropas, somatotropas y gonadotropas.

a.- Representación esquemática en sección sagital que muestra la distribución definitiva de las células somatotropas.

b.- Representación esquemática en sección sagital que muestra la distribución definitiva de las células lactotropas.

c.- Representación esquemática en sección sagital que muestra la distribución definitiva de las células gonadotropas.

EM: Eminencia media.

LA: Lóbulo anterior.

LT: Lóbulo tuberal.

LP: Lóbulo posterior.

Rc: Región caudal.

Rr: Región rostral.

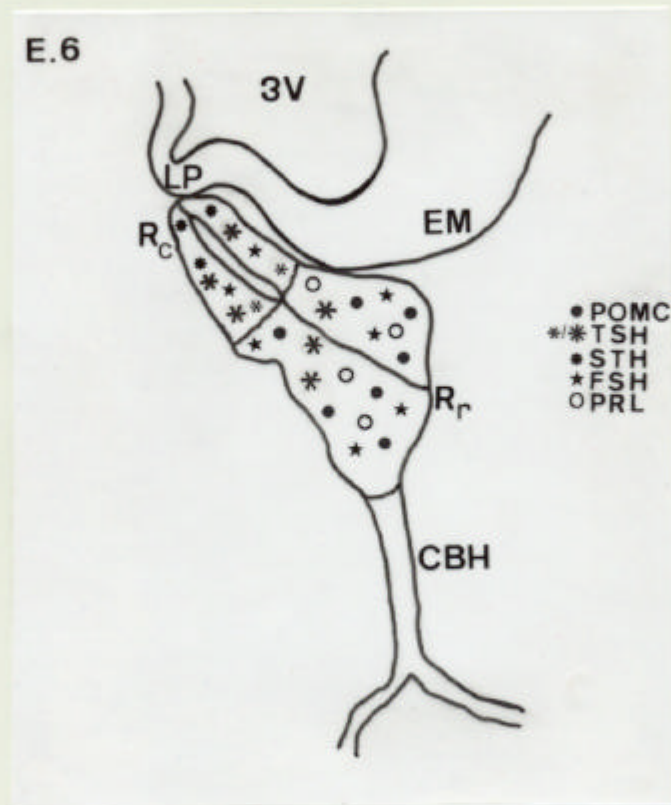


FIG 49

FIGURA 49

Diferenciación hormonal en Aves. Origen de los diferentes tipos celulares a partir de las células de la bolsa de Rathke.

Representación esquemática en sección sagital de la bolsa de Rathke en el estadio E.6 que muestra las diferentes regiones a partir de las cuales se originan los distintos tipos celulares secretores.

CBH: Cordón bucohipofisario

EM: Eminencia media.

LP: Lóbulo posterior.

Rc: Región caudal.

Rr: Región rostral.

3V: Tercer ventrículo.